

梁柱の非保存的弾性安定問題の有限要素解析

山口大学 正員 会 田 忠 義
福岡市 〃。岩 佐 道 喬

まえがき 梁柱の弾性安定問題において、一定方向力(保存力)に対する解析は数多く行なわれ、解明されていゝるが、従動力(一般に非保存力)に対する解析は比較的少なく、研究の余地が残された分野の一つである。非保存的弾性安定問題の解析は、運動中の系の安定、不安定を判別することによらなければならぬことは周知の通りである。本研究は集中従動力および等分布従動力を受ける薄肉開断面柱の有限要素解析法を示すとともに、二つの適用例を示す。

仮想仕事方程式と等価節点力 外力($\delta_x^s, \delta_y^s, \delta_z$, m_x, m_y, m_z^s)および材端力($Q_{xj}^o, Q_{yj}^o, Q_{zj}^o, M_{xj}, M_{yj}, M_{zj}$, $M_{xj}^o, M_{yj}^o, Q_{xj}^o, Q_{yj}^o, Q_{zj}^o, M_{xj}^o, M_{yj}^o, M_{zj}^o$)が作用し静時に安定な状態に外乱が与えられた有限振幅振動状態を想定する。このとき、材端力は上記の初期材端力に($Q_{xj}, Q_{yj}, Q_{zj}, M_{xj}, M_{yj}, M_{zj}, Q_{xj}^o, Q_{yj}^o, Q_{zj}^o, M_{xj}^o, M_{yj}^o$)と材端力が付加される。また、要素の任意断面の重心断中心の変位が(u_s, v_s, w_s)、回転変位が($-v_s', u_s', \theta$)であるとき、外力は従動荷重であると考えるので、次のようして変化する。

$$\begin{aligned} (\delta_x^s, 0, 0) &\rightarrow (\delta_x^s, \delta_x \theta, -\delta_z^s u_s'), (0, \delta_y^s, 0) \rightarrow \\ (-\delta_y^s \theta, \delta_y^s, -\delta_z^s v_s'), (0, 0, \delta_z) &\rightarrow (\delta_z u_s', \delta_y v_s', \delta_z), \\ (m_x, 0, 0) &\rightarrow (m_x, m_x \theta, -m_z u_s'), (0, m_y, 0) \rightarrow \\ (-m_y \theta, m_y, -m_y v_s'), (0, 0, m_z^s) &\rightarrow (m_z^s u_s', m_z^s v_s', m_z^s) \end{aligned}$$

ここで、(u, v)は、同一断面の重心の変位である。

今、有限振幅の振動状態にある要素について、ある時刻 t における時刻 t における、せん断中心に $\delta u_s, \delta v_s, \delta \theta$ 、重心に δw を与える仮想変位を与えるとその仮想仕事方程式は次式で表わされる。

$$\int_0^l \left\{ m(\ddot{u}_s + y_s \dot{\theta}) \delta u_s + m(\ddot{v}_s - x_s \dot{\theta}) \delta v_s + m \ddot{w} \delta w + \mu I_{xx} \ddot{u}_s \delta u_s' + \mu I_{yy} \ddot{v}_s \delta v_s' + (\mu I_{zz} \dot{\theta} + m_z^s \dot{u}_s) \delta \theta \right. \\ - m x_s \dot{v}_s' \delta \theta + \mu I_w \dot{\theta} \delta \theta' \} dz + \int_0^l \left[Q_x^o (u_s' + y_s \theta') (\delta u_s' + y_s \delta \theta') + (v_s' - x_s \theta') (\delta v_s - x_s \delta \theta) + r_o \dot{\theta} \delta \theta' \right] \\ - M_x^o (\delta u_s \theta' + u_s' \delta \theta' - 2 \beta_y \theta' \delta \theta') - M_y^o (s v_s \theta' + v_s' \delta \theta' + 2 \beta_z \theta' \delta \theta') + 2 M_w \beta_w \theta' \delta \theta' + Q_z^o \} \beta_x (\delta \theta \theta' \\ + \theta \delta \theta') + \delta v_s' \theta + v_s' \delta \theta \} + Q_y^o \} \beta_y (\delta \theta \theta' + \theta \delta \theta') - \delta u_s' \theta - u_s' \delta \theta \} - M_z^o \beta_w (\delta \theta \theta' + \theta \delta \theta') + M_z^o (v_s' \delta u_s' \\ - u_s' \delta v_s) \} dz + \int_0^l (EA w' \delta w' + E I_{xx} u_s' \delta u_s'' + E I_{yy} v_s'' \delta v_s'' + E I_w \theta'' \delta \theta'' + G K \theta' \delta \theta') dz - \int_0^l [-\delta_x^s \theta \\ + \delta z (u_s' + y_s \theta')] \delta u_s + \{ m_x \theta + m_z^s v_s' + x_s (\delta_x^s u_s' + \delta_y^s v_s') \} \delta u_s' + \{ \delta_x^s \theta + \delta_z (v_s' - x_s \theta') \} \delta v_s + \{ m_y \theta \}$$

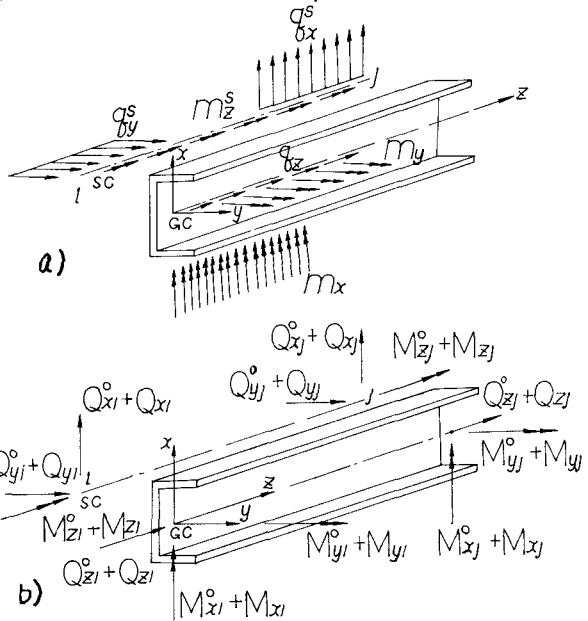


Fig. 1 分布外力および外乱時の材端力

$$\begin{aligned}
& -m_s^2 \dot{U}_s + y_s (\delta_x^s U_s + \delta_y^s V_s) \} \delta V_s' - (\delta_x^s U_s + \delta_y^s V_s) \delta W + \{ y_s \delta_x (U_s + y_s \theta') - x_s \delta_x (V_s' - x_s \theta') \\
& - m_x (U_s + y_s \theta') - n_y (V_s' - x_s \theta') \} \delta \theta + \{ -\omega_n(x_s, y_s) (\delta_x^s U_s + \delta_y^s V_s) + m_x \theta y_s - n_y \theta x_s \} \delta \theta' \} dz - (Q_{xz} \delta U_s \\
& + Q_{yz} \delta U_{yz} + Q_{xy} \delta V_{xy} + Q_{yy} \delta V_{yz} - M_{xz} \delta U_{xi} - M_{yz} \delta V_{yz} + M_{xy} \delta U_{xy} + M_{yy} \delta U_{yz} + Q_{xi} \delta W_x + Q_{yz} \delta W_y + M_{xz} \delta \theta \\
& + T_{xz} \delta \theta_y + M_{xi} \delta \theta_x + M_{yz} \delta \theta_y) = 0 \quad \dots \dots \dots (1)
\end{aligned}$$

ここで \$(x_s, y_s)\$: セン断中心位置, \$m, m\$: 単位体積および単位長さ質量, \$EI_{xx}, EI_{yy}\$: \$y\$ 軸に垂直な曲げ剛性, \$EI_w\$: 曲げねじり剛性, \$GK\$: ねじり剛性, \$I_{ps}\$: 楕円柱モーメント, \$Q_x^2, Q_y^2, Q_z^2, M_x^2, M_y^2, M_z^2\$: 初期断面力, \$\omega_n(x_s, y_s)\$: セン断中心の \$\omega\$, \$A\$: 断面積, \$I^2 = (I_{xx} + I_{yy})/A\$, \$\alpha_x = -x_s + \int_A x(x^2 + y^2) dA/(2I_{xx})\$, \$\beta_y = -y_s + \int_A y(x^2 + y^2) dA/(2I_{yy})\$, \$\beta_W = \int_A \omega_n(x^2 + y^2) dA/2I_w^2\$ である。

今、構柱の要素の変位関数として次の式を仮定する。\$\bar{U}, \bar{U}', \bar{U}_{xy}, \bar{U}_{yz}, \bar{U}_{xy}\$ は円振動数である。

$$U_s = H(z) \bar{U}_s e^{i\omega z}, \quad V_s = H(z) \bar{V}_s e^{i\omega z}, \quad \theta = H(z) \bar{\theta} e^{i\omega z}, \quad W = J(z) \bar{W} e^{i\omega z} \quad \dots \dots \dots (2)$$

$$\begin{aligned}
& \text{ここで } H(z) = [1, z, z^2, z^3], \quad J(z) = [1, z] \quad \bar{U}_s = [\bar{U}_{xi}, \bar{U}_{xi}', \bar{U}_{xy}, \bar{U}_{yz}]^T \\
& \bar{A} = \begin{bmatrix} 1 & 0 & 0 & 0 \\ 0 & 1 & 0 & 0 \\ -z/l^2 & -2/z & z/l^2 & -1/l \\ 2/z^3 & 1/l^2 & -2/z^3 & 1/l^2 \end{bmatrix} \quad \bar{B} = \begin{bmatrix} 1 & 0 \\ 1/l & 1/l \end{bmatrix} \\
& \bar{U}_s = [\bar{U}_{xi}, \bar{U}_{xi}', \bar{U}_{xy}, \bar{U}_{yz}]^T \quad \bar{W} = [\bar{W}_i, \bar{W}_j]^T \quad \bar{\theta} = [\bar{\theta}_i, \bar{\theta}_i', \bar{\theta}_j, \bar{\theta}_j']^T \quad \dots \dots \dots (3)
\end{aligned}$$

式(2)と式(1)に代入して、整理すると。

$$[\bar{f}]^T [-\omega^2[m] \bar{f} + [\bar{k}] \bar{f} + [\bar{kg}] \bar{f} - [\bar{k}_N] \bar{f} - \bar{f}] e^{i\omega z} = 0 \quad \dots \dots \dots (4)$$

ここで \$[\bar{f}] = [U_s^T, \bar{U}_s^T, \bar{W}_i^T, \bar{\theta}_i^T]^T\$, \$[m]\$: 質量マトリックス, \$[\bar{k}]\$: 刚性マトリックス, \$[\bar{kg}]\$: 初期応力マトリックス, \$[\bar{k}_N]\$: 分布荷重の非保存成分マトリックス, \$\bar{f}\$: 打撃力ベクトル, である。式中、\$[m], [\bar{k}], [\bar{kg}]\$ および \$[\bar{k}_N]\$ は既往の研究のそれに類似であるが、\$[\bar{k}_N]\$ は本研究で初めて提示するものである。次の要素 \$E\$ もつ。

$$\begin{aligned}
& [\bar{f}] = [U_s^T, \bar{U}_s^T, \bar{W}_i^T, \bar{\theta}_i^T]^T \\
& [\bar{k}_N] = \begin{cases} \delta_x k_N + \delta_y^2 z^2 k_N^2 & (8x^2 k_N + m_s^2) k_N^2 \quad 0 \quad |\delta_y^2 k_N + \delta_x y_s k_N| + m_x (k_N)^T \\ (G_x^2 y_s - m_s^2) k_N^2 & \delta_x k_N^2 + \delta_y^2 y_s k_N^2 \quad 0 \quad |\delta_x^2 k_N - \delta_x y_s k_N + m_y (k_N)^T| \\ -\delta_x^2 k_N^2 & -\delta_y^2 k_N^2 \quad 0 \quad 0 \end{cases} \\
& \left. \begin{cases} (\delta_x^2 y_s - m_x) k_N^2 - \omega_n(x_s, y_s) \delta_x^2 k_N^2 & (-\delta_x^2 z + m_y) k_N^2 - \omega_n(x_s, y_s) k_N^2 \quad 0 \quad |(\delta_x^2 (x_s^2 + y_s^2) - m_x y_s^2 + m_y x_s) k_N^2 + (m_x y_s - m_y x_s) (k_N)^T| \\ (\delta_y^2 y_s - m_y) k_N^2 & \delta_y^2 k_N^2 \quad 0 \quad |\delta_y^2 k_N^2 + m_y (k_N)^T| \end{cases} \right\} \quad \dots \dots \dots (5)
\end{aligned}$$

$$\begin{aligned}
& \text{ここで } k_0^2 = \bar{A}^T k_0 \bar{A}, \quad k_0' = \bar{A}^T k_0' \bar{A}, \quad k_N^2 = \bar{A}^T k_N^2 \bar{A}, \quad k_{mn} = \bar{B}^T k_m^2 \bar{A}, \quad k_{mn} = \int_0^L (H_{(z)})^T H_{(z)} dz \quad \bar{k}_{mn} = \int_0^L (J_{(z)})^T J_{(z)} dz \\
& (m, n = 0, 1, 2) \quad \dots \dots \dots (5)
\end{aligned}$$

式(4)より等価節束力は次式となる。

$$[\bar{f}] = \{-\omega^2[m] + [\bar{k}] + [\bar{kg}] - [\bar{k}_N]\} \bar{f} \quad \dots \dots \dots (6)$$

節束集中荷重時の平衡方程式 頂点(要素)の共通軸に作用する荷重 \$(P_{xi}, P_{yi}, P_{zi}, M_{xi}, M_{yi}, M_{zi})\$ は運動にともない、次のようにならう。ここで節束 \$i\$ の全体座標軸方向の変位および回転角をそれぞれ \$(u_i, v_i, w_i), (\theta_{xi}, \theta_{yi}, \theta_{zi})\$ とする。

$(P_{xi}, 0, 0) \rightarrow (P_{xi}, P_{xi}\theta_{xi}, -P_{xi}\phi_{xi})$, $(0, P_{ri}, 0) \rightarrow (-P_{ri}\theta_{ri}, P_{ri}, P_{ri}\phi_{ri})$, $(0, 0, P_{zi}) \rightarrow (P_{zi}\theta_{zi}, -P_{zi}\phi_{zi}, P_{zi})$, $(m_{xi}, 0, 0) \rightarrow (m_{xi}, m_{xi}\theta_{xi}, -m_{xi}\phi_{xi})$, $(0, m_{ri}, 0) \rightarrow (-m_{ri}\theta_{ri}, m_{ri}, m_{ri}\phi_{ri})$, $(0, 0, m_{zi}) \rightarrow (m_{zi}\theta_{zi}, -m_{zi}\phi_{zi}, m_{zi})$ したがって、有限振幅運動状態における節点の平衡方程式は次式で表わされる。

$$\sum_i [T_{ij}]^T \{f_{ij}\} - \{R_i\} = 0 \quad \dots \dots (7) \quad \{R_i\} = \begin{bmatrix} 0 & 0 & 0 & 0 & P_{zi} & -P_{ri} \\ 0 & 0 & 0 & P_{zi} & 0 & P_{xi} \\ 0 & 0 & 0 & P_{ri} & -P_{xi} & 0 \\ 0 & 0 & 0 & 0 & m_{zi} & -m_{ri} \\ 0 & 0 & 0 & -m_{ri} & 0 & m_{xi} \\ 0 & 0 & 0 & m_{xi} & -m_{zi} & 0 \end{bmatrix} \begin{Bmatrix} u_i \\ v_i \\ w_i \\ \theta_{xi} \\ \theta_{ri} \\ \theta_{zi} \end{Bmatrix}$$

ここで $[T_{ij}]$: i 部材の j 端の座標変換マトリックス
 $\{f_{ij}\}$: i 部材の j 端の寄徴節反力
 $\{R_i\}$: 節点 i の集中運動荷重非保存成分マトリックス

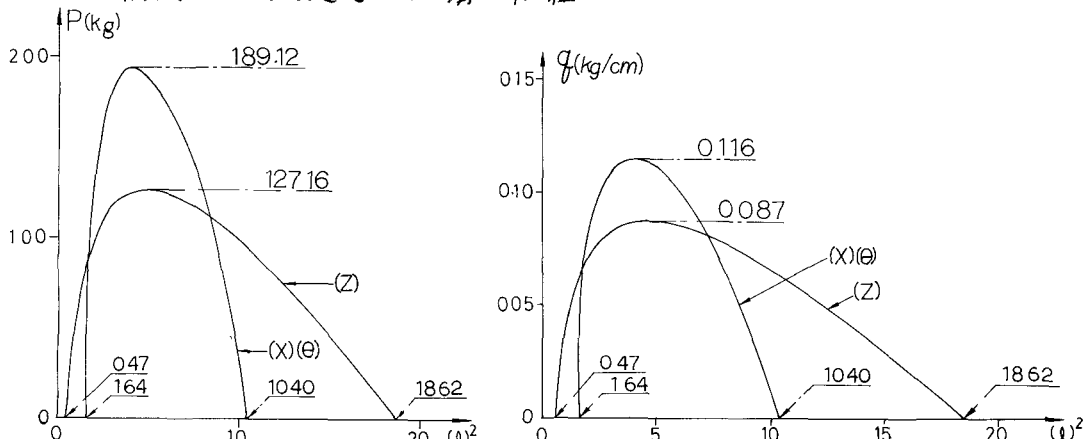
解釈例

(2軸対称断面柱)

荷重状態	境界条件	臨界値	本解法	差分法 ²⁾			差分法 ³⁾ ($k=10$)	ガウス-ジンジ法 ⁴⁾ (5段近似)
				$k=10$	$k=50$	$k=100$		
集中運動刃	固定-自由	$P\ell^2/EI$	20.07 ^{**}	19.87	20.04	20.05	19.93	20.05 (収束解)
等分布 運動刃	固定-自由		40.13 ^{**}	39.53	40.03	40.05	40.17	40.082
	固定-ヒンジ		57.13*	54.96	56.92	56.99	58.83	57.068
集中運動刃	ヒンジ-ヒンジ	$8\ell^3/EI$	18.96*	18.78	18.95	18.95	19.14	18.956
	固定-固定		80.63*	76.34	80.09	80.22	83.71	80.402
集中運動刃IV7	固定-自由	$m\ell^2/EI$	0.710				0.709	
等分布運動刃IV7	固定-自由	$m\ell^2/EI$	1.157					

(* * ... フラッタ型 * ... ダイバージェンス型 ℓ : 分割数)

(1軸対称断面柱) ---- 一端固定他端自由の薄形断面柱⁵⁾



参考文献

- Barsoom, R.S : International Journal of NME, Vol. 6, pp 39~54, 1973
- 移山・片山・関谷：日本機械学会論文集, Vol. 37, No. 295, pp 455~461, 1971
- 会田・渡木：土木学会論文報告集, No. 263, pp 25~34, 1977
- 森本：山口大学修士論文, 昭和52年2月20日
- 会田・佐賀・石井：土木学会中国四国支部昭和53年度学術講演会概要集, I-5